

Supporting data for:

Heavy Snow: IR spectroscopy of isotope mixed crystalline water ice

Authors

Andy Wong¹, Liang Shi², Rebecca Auchetti³, Don McNaughton¹, Dominique Appadoo⁴, Evan G. Robertson^{3*}.

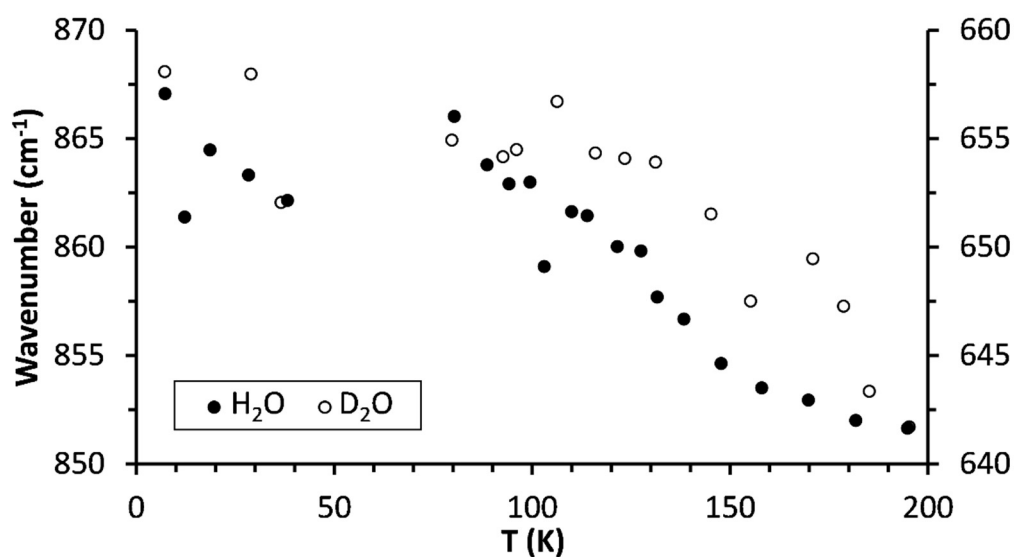
1. School of Chemistry, Monash University, Wellington Road, Clayton, Victoria, 3800, Australia.

2. Theoretical Chemistry Institute and Department of Chemistry, University of Wisconsin, Madison, Wisconsin 53706, USA.

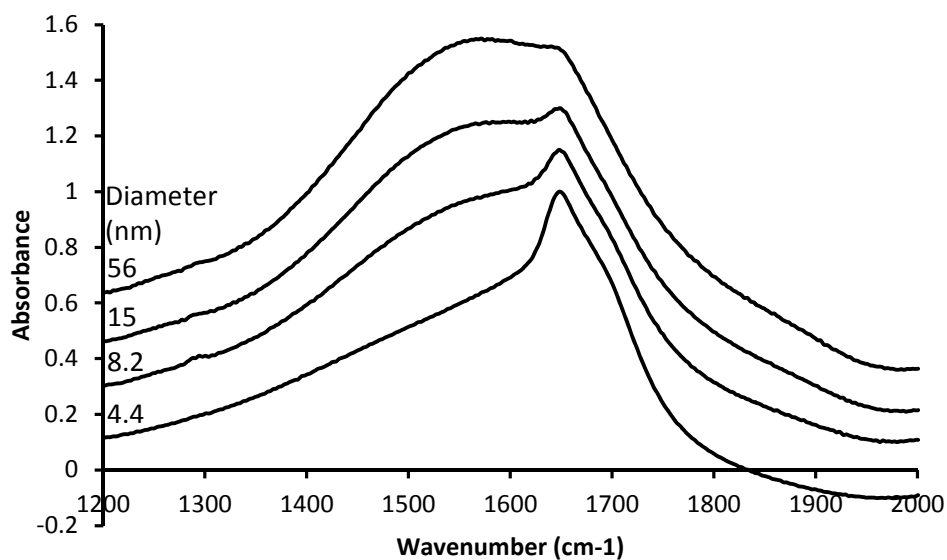
3. Department of Chemistry and Physics, La Trobe Institute for Molecular Science, La Trobe University, Victoria, 3086, Australia.

4. Australian Synchrotron, 800 Blackburn Road, Clayton, Victoria, 3148, Australia.

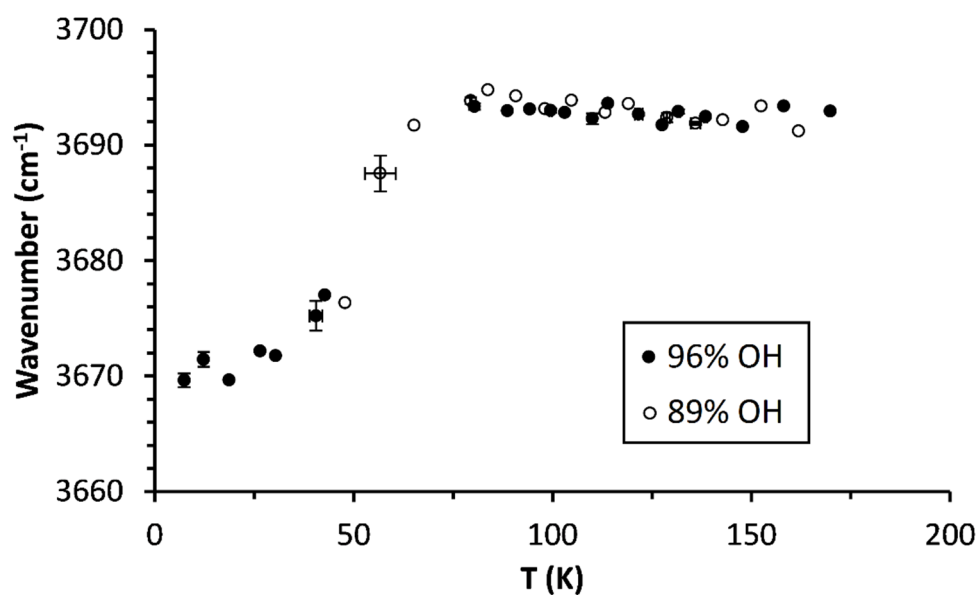
* Corresponding author: e.robertson@latrobe.edu.au



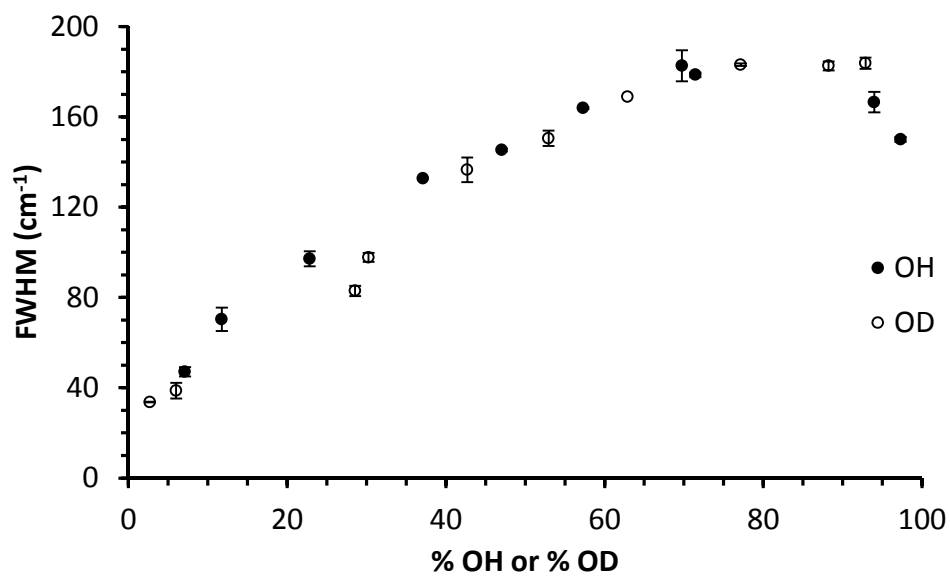
Supplementary figure S1: Comparison of the ν_1 position for near pure H₂O and D₂O crystalline particles.



Supplementary figure S2: Changes in the shape of the $2 \nu(\text{H}_2\text{O})$ band as a function of increasing particle size at 78 K.



Supplementary figure S3: The COG peak position of the $\text{dOH}(\text{H}_2\text{O})$ band at $96 \pm 2\%$ OH (filled circles) and $89 \pm 3\%$ OH (hollow circles).



Supplementary figure S4: The FWHM of the OH and OD stretching bands as % OH (OD) is increased.

Supplementary table S1a: A more extensive list of literature values for the positions of vibrational bands for H₂O.

Reference	Phase	T (K)	ν_1, ν_3	ν_2	ν_4	Dangling	Lattice	
						OH	TO	LA
Herzberg 1945	Vapour	--	3652/3756	1595	--	--	--	--
Giguère 1956	Cryst. Film	258	--	1650	800	--	--	--
		218	3240	1650	820	--	--	--
		103	3250	--	850	--	--	--
Hornig 1960	Cryst. Film	78	3120/3360	1585	847	--	--	--
Bayly 1963	Liquid	†	3490	1645	--	--	--	--
Whalley 1964	Cryst. Film	100	3150/3220/3380	1650	900-840	--	--	--
Ikawa 1968	Vitreous film	113	3169/3241	--	--	--	--	--
	Cryst. Film	163	3120/3206/3333	--	--	--	--	--
Bonner 1969	Liquid	†	3530	1645	--	--	--	--
Fox 1940	Liquid	†	3453	1645	--	--	--	--
Bertie 1977	Cryst. Film	78	--	--	--	--	233	230
Hasted 1977	LDA film	292	--	--	--	--	300 ^a	80 ^a
		77	3240/3381 ^b	--	--	--	--	--
		150	3156/3219/3371 ^b	--	--	--	--	--
Rice 1978	Polycryst. Film	150	3146/3224/3359 ^a	--	--	--	--	--
		150	3146/3224/3359 ^a	--	--	--	--	--
Devlin 1986	Cryst. Film (H ₂ O in D ₂ O)	90	3225/3270	1735	840	--	--	--
		110	3257	--	--	--	--	--
Devlin 1989	Aerosol	170	3252	--	--	--	--	--
		80	3138/3228/3348	--	--	--	--	--
		15	--	--	--	3720 2cs ^c	--	--
Devlin 1991	Amorph. Film	60	--	--	--	3696 3cs ^c	--	--
		80	--	--	--	3692	--	--
		80	--	--	--	3677	--	--
Devlin 1991	Aerosol (in He)	80	--	--	--	3692	--	--
		80	--	--	--	3677	--	--
Devlin 1991	Aerosol (in N ₂)	80	--	--	--	3692	--	--
		80	--	--	--	3677	--	--

Maréchal 1991	Liquid	300	3405	1651	698	--	--	--
		348	3437	1651	682	--	--	--
Venyaminov 1997	Liquid	298	3450/3600	--	--	--	--	--
Buch 2001	Cryst. Film	12	--	--	842	--	--	--
	Aerosol (3 nm)		--	1658	842	--	--	--
	Amorph. film		--	1671	770-810	--	--	--
	Aerosol (12 nm)	100	3142/3255/3334	--	--	3676	--	--
	Aerosol (3,6,10,16,20 nm)		--	1650	--	--	--	--
	Cryst. Film		--	1560	--	--	--	--
Everest 2001	Cryst. Film	150	3225	--	830	--	--	--
Max 2002	Liquid	298	--	1638	--	--	--	--
Buch 2003	Aerosol (12 nm with CF ₄)	80	--	--	868	--	--	--
	Cryst. Film		--	--	842	--	--	--
	Cryst. Film (H ₂ O in D ₂ O)	90	--	--	817/735	--	--	--
Raymond 2003	Liquid (VSF ^d)	†	--	--	--	3200-3400 ^e	--	--
						3703		
Ceponkus 2004	Matrix isolation (in Ne)	2.8-10	3674, 3763	1616/1599	--	--	--	--
DeRose 2004	Matrix isolation (in pH ₂)	2.4	3661, 3720	1612/1622	--	--	--	--
Dlott 2004	Liquid (UNVS ^f)	†	3415	1650	--	--	--	--
Millo 2005	Liquid	275	3311	1639	--	--	--	--
		271	3188	1623	--	--	--	--
Smith 2011	Amorph. Film (on Pt(111))	140	3332/3432	--	--	--	--	--
	Cryst. Film (on Pt(111))		3165/3309/3405	--	--	--	--	--
Medcraft 2012	Aerosol (in He)	5	--	--	--	--	233	166

	Aerosol (in N ₂)	200	--	--	--	--	225	157
Medcraft 2013	Aerosol (in He)	78	3223	1650	ca. 850	3690	--	--
	Aerosol (in N ₂)	209	3253	1650	860	--	--	--

† Assuming a temperature of 298 K.

^a Determined using the imaginary component (k) of refractive index

^b Determined using the imaginary component of the dielectric constant ϵ ($=2nk$) from thin film data.

^c 2cs and 3cs represents 2-co-ordinated and 3-co-ordinated surface molecules respectively.

^d VSF = vibrational sum frequency

^e free H₂O rather than OH

^f UNVS = ultrafast non-linear vibrational spectroscopy

References

Herzberg 1945: G. Herzberg, *Molecular Spectra and Molecular Structure*, 281-282, Van Nostrand (1945).

Giguère 1956: P. A. Giguère and K. B. Harvey, *Can. J. Chem.*, **34**, 798 (1956)

Hornig 1960: C. Haas and D. F. Hornig, *J. Chem. Phys.*, **32**, 1763 (1960)

Bayly 1963: J. G. Bayly, B. Kartha and W. H. Stevens, *Infrared Phys.*, **3**, 211 (1963)

Whalley 1964: J. E. Bertie and E. Whalley, *J. Chem. Phys.*, **40**, 1637 (1964)

Ikawa 1967: S. -I. Ikawa and S. Maeda, *Spectrom. Acta*, **24A**, 655 (1968)

Bonner 1969: O. D. Bonner and J. D. Curry, *Infrared Phys.*, **10**, 91 (1969)

Fox 1940: J. J. Fox and A. E. Martin, *P. Roy. Soc. Lond. A. Mat.*, **174**, 234 (1940)

Bertie 1977: J. E. Bertie and S. M. Jacobs, *J. Chem. Phys.*, **67**, 2445 (1977)

Hasted 1977: M. N. Afsar and J. B. Hasted, *J. Opt. Soc. Am.*, **67**, 902 (1977)

Rice 1978: M. S. bergren, D. Schuh, M. G. Sceats and S. A. Rice, *J. Chem. Phys.*, **69**, 3477 (1978)

Devlin 1986: J. P. Devlin, P. J. Wooldridge and G. Ritzhaupt, *J. Chem. Phys.*, **84**, 6095 (1986)

Devlin 1989: J. P. Devlin, *J. Chem. Phys.*, **91**, 5850 (1989)

Devlin 1991: B. Rowland, M. Fisher and J. P. Devlin, *J. Chem. Phys.*, **95**, 1378 (1991)

Maréchal 1991: Y. Maréchal, *J. Chem. Phys.*, **95**, 5565 (1991)

Venyaminov 1997: S. Y. Venyaminov and F. G. Prendergast, *Anal. Biochem.*, **248**, 234 (1997)

Buch 2001: J. P. Devlin, J. Sadlej and V. Buch, *J. Phys. Chem. A*, **105**, 974 (2001)

Everest 2001: M. A. Everest and C. J. Pursell, *J. Chem. Phys.*, **115**, 9843 (2001)

Max 2002: J. –J. Max and C. Chapados, *J. Chem. Phys.*, **116**, 4626 (2002)

Buch 2003: M. W. Severson, J. P. Devlin and V. Buch, *J. Chem. Phys.*, **119**, 4449 (2003)

Raymond 2003: E. A. Raymond, T. L. Tarbuck, M. G. Brown and G. L. Richmond, *J. Phys. Chem. B*, **107**, 546 (2003)

Ceponkus 2004: J. Ceponkus and B. Nelander, *J. Phys. Chem. A*, **108**, 6499 (2004)

DeRose 2004: M. E. Fajardo, S. Tam and M. E. DeRose, *J. Mol. Struct.*, **695-696**, 111 (2004)

Dlott 2004: Z. Wang, A. Pakoulev, Y. Pang and D. D. Dlott, *J. Phys. Chem. A*, **108**, 9054 (2004)

Millo 2005: A. Millo, Y. Raichlin and A. Katzir, *Appl. Spectrosc.*, **59**, 460 (2005)

Smith 2011: R. S. Smith, J. Matthiesen, J. Knox and B. D. Kay, *J. Phys. Chem. A*, **115**, 5908 (2011)

Medcraft 2012: C. Medcraft, D. McNaughton, C. D. Thompson, D. Appadoo, S. Bauerecker and E. G. Robertson, *Astrophys. J.*, **758**, 1 (2012)

Medcraft 2013: C. Medcraft, D. McNaughton, C. D. Thompson, D. R. T. Appadoo, S. Bauerecker and E. G. Robertson, *Phys. Chem. Chem. Phys.*, **15**, 3630 (2013)

Supplementary table S1b: A more extensive list of literature values for the positions of vibrational bands for HOD.

Reference	Phase	T (K)	ν_1	ν_2	ν_3	ν_4	Dangling		Lattice	
							OH	OD	TO	LA
Hornig 1960	Cryst. Film (10% D ₂ O in H ₂ O)	78	2416	--	--	--	--	--	--	--
	Cryst. Film (50% HOD)		--	1450	--	--	--	--	--	--
	Cryst. Film (52% HOD, 49% H ₂ O)		2381	1477	3096/3192/3384	819	--	--	--	--
	Cryst. Film (50% HOD, 25% H ₂ O)		2305/2388/2463	1449	3213/3192/3370	--	--	--	--	--
	Cryst. Film (32% HOD, 4% H ₂ O)		2326/2408/2453	1463	3240	805	--	--	--	--
	Cryst. Film (9.5% HOD, 90.25% H ₂ O)		2415	--	--	--	--	--	--	--
	Cryst. Film (18% HOD, 81% H ₂ O)		2396/2417/2440	--	--	--	--	--	--	--
	Cryst. Film (32% HOD, 64% H ₂ O)		2400/2416/2444	--	--	--	--	--	--	--
Whalley 1964	Cryst. Film (HDO in H ₂ O)	100	2395/2421/2445	--	--	515	--	--	--	--
	Cryst. Film (HDO in D ₂ O)		--	--	3277	822	--	--	--	--
Ikawa 1967	Vitreous film (HOD in 90.4% D ₂ O)	113	2356	--	3294	--	--	--	--	--
	Cryst. Film (HOD in 3.8% D ₂ O)	163	2334	--	3263	--	--	--	--	--
Falk 1968	Cryst. Film (0.3% HDO in H ₂ O)	273	2445	--	3330	--	--	--	--	--
	Cryst. Film (0.3% HDO in D ₂ O)	78	2416	--	3260	--	--	--	--	--
		257	--	--	3270	--	--	--	--	--
Clarke 1971	Liquid	283	--	--	3393	--	--	--	--	--
		308	--	--	3413	--	--	--	--	--
		333	--	--	3429	--	--	--	--	--

		358	--	--	3445	--	--	--	--	--
Rice 1978	Polycryst. Film (0.5% in H ₂ O)		--	--	--	--	--	--	--	--
	Amorph. Film (0.5% in H ₂ O)	70	--	--	--	--	--	--	--	--
	Polycryst. Film (0.5% in D ₂ O)		--	--	3268	--	--	--	--	--
	Amorph. Film (0.5% in D ₂ O)		--	--	3297	--	--	--	--	--
Devlin 1986	Cryst. Film (30% (HOD) ₂ in H ₂ O)	120	--	--	3238/3299	--	--	--	--	--
	Cryst. Film (30% (HOD) ₂ in D ₂ O)		2396/2439	--	--	--	--	--	--	--
	Cryst. Film (30% HOD in H ₂ O)	90	--	1490	3270	--	--	--	--	--
	Cryst. Film (30% HOD in D ₂ O)		2417	1510	--	--	--	--	--	--
Devlin 1988	Polycryst. Film ((HOD) ₂ in H ₂ O)	90	2442/2400	--	--	--	--	--	--	--
	Polycryst. Film (HOD in H ₂ O)		2420	--	--	--	--	--	--	--
Marechal 1991	Liquid (50% H to 50% D)		2493	1457	3391	--	--	--	--	--
	Liquid (90% H to 10% D)	298	2499	1457	3377	--	--	--	--	--
	Liquid (10% H to 90% D)		2471	1457	3390	--	--	--	--	--
Horn 1992	(Amorph.) Film (HOD in D ₂ O on Pt(111))	110	--	--	3315	--	--	--	--	--
Hage 1995	Cryst. Film (12% HOD in D ₂ O) 0 min	150	--	--	3285	--	--	--	--	--
	Cryst. Film (12% HOD in D ₂ O) 49 min		--	--	3276	--	--	--	--	--
Toth 1999	Vapour	--	2724	1403	3703	--	--	--	--	--
Buch 2000	Aerosol (18% HOD in H ₂ O 40 nm)	100	2389/2419/2439	--	--	--	--	--	--	--
	Aerosol (18% HOD in H ₂ O 4, 6, 7, 8 nm)		2415 (sub-surf)	--	--	--	--	--	--	--

	Aerosol (18% HOD in H ₂ O 4, 6, 7, 8 nm)		2396/2450 (surf)	--	--	--	--	--	--	--
Buch 2001	Aerosol (50% H to 50%D 8 nm)	100	--	1215	--	--	--	--	--	--
	Aerosol (18% HOD in H ₂ O)		--	1455	--	--	--	--	--	--
	Liquid		--	1469	--	--	--	--	--	--
Max 2002	Liquid (29.8% D ₂ O and 25.6% H ₂ O)	298	--	1446	--	--	--	--	--	--
	Liquid ('pure' HOD)		2485	1439	3370	--	--	--	--	--
	Aerosol in He (HOD in H ₂ O 12 nm)	80	--	--	--	506/515	--	--	--	--
Buch 2003	Aerosol in He (HOD in D ₂ O 12 nm)		--	--	--	824/850	--	--	--	--
Raymond 2003	Liquid (VSF ^a 0.02mf HOD, 0.25mf H ₂ O)	†	--	--	3200	--	3100-3450	--	--	--
Derose 2004	Matrix isolation (in <i>p</i> H ₂)	2.4	2730	1417	3710/3723	--	--	--	--	--
	Liquid (UNVS ^b) HOD in D ₂ O laser at 3180 cm ⁻¹		2400/2514	1429	3393/3629	--	--	--	--	--
Dlott 2004	Liquid (UNVS ^b) HOD in D ₂ O laser at 3550 cm ⁻¹	†	2518/2371	--	3457	--	--	--	--	--
	Liquid (UNVS ^b) HOD in D ₂ O laser at 3380 cm ⁻¹		2530	--	3455	--	--	--	--	--
Schwarzer 2006	Liquid (2% HOD in D ₂ O)	296	--	--	3404	--	--	--	--	--
		398	--	--	3470	--	--	--	--	--
Hamm 2011	Cryst. Film (HOD in D ₂ O)	80	2425	--	3272	--	--	--	--	--
Hamm 2013	Amorph. Film (HOD in D ₂ O)	80	2447	--	3290	--	--	--	--	--

† Assuming a temperature of 298 K.

^a VSF = vibrational sum frequency

^b UNVS = ultrafast non-linear vibrational spectroscopy

References:

- Hornig 1960: C. Haas and D. F. Hornig, *J. Chem. Phys.*, **32**, 1763 (1960)
- Whalley 1964: J. E. Bertie and E. Whalley, *J. Chem. Phys.*, **40**, 1637 (1964)
- Ikawa 1967: S. -I. Ikawa and S. Maeda, *Spectrom. Acta*, **24A**, 655 (1968)
- Falk 1968: T. A. Ford and M. Falk, *Can. J. Chem.*, **46**, 3579 (1968)
- Clarke 1971: E. C. W. Clarke and D. N. Glew, *Can. J. Chem.*, **50**, 1655 (1972)
- Rice 1978: M. S. bergren, D. Schuh, M. G. Sceats and S. A. Rice, *J. Chem. Phys.*, **69**, 3477 (1978)
- Devlin 1986: J. P. Devlin, P. J. Wooldridge and G. Ritzhaupt, *J. Chem. Phys.*, **84**, 6095 (1986)
- Devlin 1988: P. J. Wooldridge and J. P. Devlin, *J. Chem. Phys.*, **88**, 3086 (1988)
- Maréchal 1991: Y. Maréchal, *J. Chem. Phys.*, **95**, 5565 (1991)
- Horn 1992: A. B. Horn, M. A. Chesters, M. R. S. McCoustra and J. R. Sodeau, *J. Chem. Soc. Faraday Trans.*, **88**, 1077 (1992)
- Hage 1995: W. Hage, A. Hallbucker, E. Mayer and G. P. Johari, *J. Chem. Phys.*, **103**, 545 (1995)
- Toth 1999: R. A. Toth, *J. Mol. Spectrosc.*, **195**, 73 (1999)
- Buch 2000: J. P. Devlin, C. Joyce and V. Buch, *J. Phys. Chem. A*, **104**, 1974 (2000)
- Buch 2001: J. P. Devlin, J. Sadlej and V. Buch, *J. Phys. Chem. A*, **105**, 974 (2001)
- Max 2002: J. -J. Max and C. Chapados, *J. Chem. Phys.*, **116**, 4626 (2002)
- Buch 2003: M. W. Severson, J. P. Devlin and V. Buch, *J. Chem. Phys.*, **119**, 4449 (2003)
- Raymond 2003: E. A. Raymond, T. L. Tarbuck, M. G. Brown and G. L. Richmond, *J. Phys. Chem. B*, **107**, 546 (2003)
- DeRose 2004: M. E. Fajardo, S. Tam and M. E. DeRose, *J. Mol. Struct.*, **695-696**, 111 (2004)
- Dlott 2004: Z. Wang, A. Pakoulev, Y. Pang and D. D. Dlott, *J. Phys. Chem. A*, **108**, 9054 (2004)
- Schwartz 2006: D. Schwarzer, J. Linder and P. Vöhringer, *J. Phys. Chem. A*, **110**, 2858 (2006)
- Hamm 2011: F. Perakis, S. Widmer and P. Hamm, *J. Chem. Phys.*, **134**, 204505 (2011)
- Hamm 2013: F. Perakis, J. A. Borek and P. Hamm, *J. Chem. Phys.*, **139**, 014501 (2013)

Supplementary table S1c: A more extensive list of literature values for the positions of vibrational bands for D₂O.

Reference	Phase	T (K)	ν_1, ν_3	ν_2	ν_L	Dangling OD	Lattice TO	LA
Giguère 1956	Liquid	283	--	--	530	--	--	--
		258	--	--	590	--	--	--
	Cryst. Film	218	2400	1210	610	--	--	--
		103	2450	1210	630	--	--	--
Hornig 1960	Cryst. Film (5% HOD in 95% D ₂ O)	78	2326/2408/2463	1210	--	--	--	--
Whalley 1964	Cryst. Film	110	2332/2425/2545	1210	640-675	--	--	--
Ikawa 1967	Vitreous film (90.4% D ₂ O)	113	2354/2433/2517	--	590	--	--	--
	Cryst. Film (90.4% D ₂ O)	163	2319/2417/2472	--	627	--	--	--
Bonner 1969	Liquid	†	2625	1210	--	--	--	--
Bertie 1977	Cryst. Film	78	--	--	--	--	227	--
Rice 1978	LDA film	70	2367/2435/2490 ^a	--	--	--	--	--
	Polycryst. Film	150	2338/2424/2481 ^b	--	--	--	--	--
				2331/2423/2480 ^a	--	--	--	--
Devlin 1986	Cryst. Film (2% D ₂ O in H ₂ O)	90	2444/2366	1225	640	--	--	--
Devlin 1988	Polycryst. Film (D ₂ O in H ₂ O)	90	2400/2421/2442	--	--	--	--	--
		38	2325/2420/2485	--	--	--	--	--
Devlin 1989	Aerosol	80	2366/2441	--	--	--	--	--
		170	2438/2500	--	--	--	--	--
		80	2339/2428/2461	--	--	--	--	--
	Aerosol (with H ₂ O)	90	2342, 2426	--	--	--	--	--
Devlin 1991	Amorph. Film	15	--	--	--	2748 2cs ^c	--	--
			--	--	--	2727 3cs ^c	--	--
	Amorph. Film (in He)	--	--	--	2749 2cs ^c	--	--	
		--	--	--	2729 3cs ^c	--	--	

	Amorph. Film (in N ₂)		--	--	--	2725 2cs ^c	--	--
			--	--	--	2707 3cs ^c	--	--
	Amorph. Film (post annealing)	60	--	--	--	2727 3cs ^c	--	--
Maréchal 1991	Liquid	300	2397/2468/2548	1190	--	--	--	--
		348	2405/2500/2595	1190	--	--	--	--
Bowman 1996	Supercrit (Xe)	383	2766	--	--	--	--	--
	Supercrit (CO ₂)			--	--	--	--	--
	Cryst. Film	110	2524	1214	--	2728	--	--
Horn 1992	Cryst. Film with CF ₂ Cl ₂	--	--	--	--	2708	--	--
	Cryst. Film with CCl ₃ F	--	--	--	--	2702	--	--
	Cryst. Film with CCl ₄	--	--	--	--	2695	--	--
Paul 1998	Vapour (D ₂ O) ₂	5	2783	--	--	--	--	--
Toth 1999	Vapour	--	2672, 2788	1178	--	--	--	--
Buch 2000	Amorph. Film	80	2370/2459/2519	--	--	--	--	--
	Aerosol (16 nm)	100	2300/2430/2490	--	--	--	--	--
Devlin 2000	Nanocryst.	136	--	--	--	2725	--	--
Buch 2001	Aerosol (20 nm with CF ₄)	100	2310/2395/2515	--	--	--	--	--
	Aerosol (8 nm)		--	1211	--	--	--	--
Everest 2001	Cryst. Film (D ₂ O on H ₂ O)	145	2425	--	--	--	--	--
	Cryst. Film (D ₂ O on H ₂ O doped with HCl)		2419	--	--	--	--	--
Max 2002	Liquid (54.5% D ₂ O)	298	2423/2484	1200	--	--	--	--
	Liquid ('pure' D ₂ O)		--	1214	--	--	--	--
Buch 2003	Cryst. Film		--	--	633/661	--	--	--
	Aerosol (12 nm)	90	--	--	628/663	--	--	--
	Aerosol (12 nm isolated in H ₂ O)		--	--	453/504/525	--	--	--
Ceponus 2004	Matrix isolation ((D ₂ O) ₂ in Ne)	2.8 to 10	2672, 2785	1182	--	--	--	--

DeRose 2004	Matrix isolation (in pHz)	2.4	2673, 2766	1188	--	--	--	--
	Liquid (UNVS ^d) HOD in D ₂ O laser at 3180 cm ⁻¹		2400/2514	1350	--	--	--	--
Dlott 2004	Liquid (UNVS ^d) HOD in D ₂ O laser at 3550 cm ⁻¹	†	2900/2371	--	--	--	--	--
	Liquid (UNVS ^d) HOD in D ₂ O laser at 3380 cm ⁻¹		2530	--	--	--	--	--
Millo 2005	Liquid	278	2375/2475	1217	--	--	--	--
	Cryst. Film	275	2417	1217	--	--	--	--
Zasetsky 2007	Liquid	†	--	--	520	--	200	--

† Assuming a temperature of 298 K.

^a Determined using the imaginary component of the dielectric constant ϵ ($=2nk$) from thin film data.

^b Determined using the imaginary component (k) of refractive index.

^c 2cs and 3cs represents 2-co-ordinated and 3-co-ordinated surface molecules respectively.

^d UNVS = ultrafast non-linear vibrational spectroscopy.

References:

- Giguère 1956: P. A. Giguère and K. B. Harvey, *Can. J. Chem.*, **34**, 798 (1956)
- Hornig 1960: C. Haas and D. F. Hornig, *J. Chem. Phys.*, **32**, 1763 (1960)
- Whalley 1964: J. E. Bertie and E. Whalley, *J. Chem. Phys.*, **40**, 1637 (1964)
- Ikawa 1967: S. -I. Ikawa and S. Maeda, *Spectrom. Acta*, **24A**, 655 (1968)
- Bonner 1969: O. D. Bonner and J. D. Curry, *Infrared Phys.*, **10**, 91 (1969)
- Bertie 1977: J. E. Bertie and S. M. Jacobs, *J. Chem. Phys.*, **67**, 2445 (1977)
- Rice 1978: M. S. bergren, D. Schuh, M. G. Sceats and S. A. Rice, *J. Chem. Phys.*, **69**, 3477 (1978)
- Devlin 1986: J. P. Devlin, P. J. Wooldridge and G. Ritzhaupt, *J. Chem. Phys.*, **84**, 6095 (1986)
- Devlin 1988: P. J. Wooldridge and J. P. Devlin, *J. Chem. Phys.*, **88**, 3086 (1988)
- Devlin 1989: J. P. Devlin, *J. Chem. Phys.*, **91**, 5850 (1989)
- Devlin 1991: B. Rowland, M. Fisher and J. P. Devlin, *J. Chem. Phys.*, **95**, 1378 (1991)
- Maréchal 1991: Y. Maréchal, *J. Chem. Phys.*, **95**, 5565 (1991)

Bowman 1996: L. E. Bowman, B. J. Palmer, B. C. Garrett, J. L. Fulton, C. R. Yonker, D. M. Pfund and S. L. Wallen, *J. Phys. Chem.*, **100**, 18327 (1996)

Horn 1992: A. B. Horn, M. A. Chesters, M. R. S. McCoustra and J. R. Sodeau, *J. Chem. Soc. Faraday*

Paul 1998: J. B. Paul, R. A. Provencal and R. J. Saykally, *J. Phys. Chem. A*, **102**, 3279 (1998)

Toth 1999: R. A. Toth, *J. Mol. Spectrosc.*, **195**, 98 (1999)

Buch 2000: J. P. Devlin, C. Joyce and V. Buch, *J. Phys. Chem. A*, **104**, 1974 (2000)

Devlin 2000: J. P. Devlin, *J. Chem. Phys.*, **112**, 5527 (2000)

Buch 2001: J. P. Devlin, J. Sadlej and V. Buch, *J. Phys. Chem. A*, **105**, 974 (2001)

Everest 2001: M. A. Everest and C. J. Pursell, *J. Chem. Phys.*, **115**, 9843 (2001)

Max 2002: J. –J. Max and C. Chapados, *J. Chem. Phys.*, **116**, 4626 (2002)

Buch 2003: M. W. Severson, J. P. Devlin and V. Buch, *J. Chem. Phys.*, **119**, 4449 (2003)

Ceponkus 2004: J. Ceponkus and B. Nelander, *J. Phys. Chem. A*, **108**, 6499 (2004)

DeRose 2004: M. E. Fajardo, S. Tam and M. E. DeRose, *J. Mol. Struct.*, **695-696**, 111 (2004)

Dlott 2004: Z. Wang, A. Pakoulev, Y. Pang and D. D. Dlott, *J. Phys. Chem. A*, **108**, 9054 (2004)

Millo 2005: A. Millo, Y. Raichlin and A. Katzir, *Appl. Spectrosc.*, **59**, 460 (2005)

Zasetsky 2007: A. Y. Zasetsky and V. I. Gaiduk, *J. Phys. Chem. A.*, **111**, 5599 (2007)

Supplementary table S2a: Positions of overtone and combination bands involving the ν_2 , ν_L , TO and LA modes at 7 K.

Species	H ₂ O			HOD					D ₂ O		
	% OH	94	81	47	94	81	47	28	3	47	28
Vibrational mode											
TO	235 ^a			230 (78K)					227 (78K)		
LA	166 ^a			162 (78K)					161 (78K)		
ν_L in H ₂ O	863	846		515 ^b					525 ^b		
ν_L in D ₂ O	--	--	--	--	--	822	822	828	646	654	657
ν_2 (surf)	1653	1654	1655	--	1493	1495	--	--	--	--	--
ν_2	--	--	--	--	3224	3248	--	--	--	--	--
ν_{OH}	3218	3224	3248	--	2414	--	3263	3263	--	--	--
ν_{OD}	--	--	--	2412	--	2423	2426	--	2423	2426	2421
d _{OH}	--	3673	--	--	--	--	--	--	--	--	--
d _{OD}	3668	--	--	--	--	2705	--	--	2705	2710	2710
2 ν_2	--	--	--	--	--	--	--	--	--	--	--
2 ν_L	1573	1572	1583	--	--	--	1620	1634	1214	1215	--
3 ν_L	2250?	--	--	--	1984	--	1499	--	--	--	--
$\nu_2 + \nu_L$	--	--	--	2250?	--	--	--	--	--	--	--

^a C. Medcraft, D. McNaughton, C. D. Thompson, D. R. T. Appadoo, S. Bauerecker and E. G. Robertson, *Phys. Chem. Chem. Phys.*, **15**, 3630 (2013)

^b Buch 2003: M. W. Severson, J. P. Devlin and V. Buch, *J. Chem. Phys.*, **119**, 4449 (2003)

Supplementary table S2b: Positions of overtone and combination bands involving the ν_2 , ν_L , TO and LA modes at 78 K.

Species	H ₂ O					HOD								
	% OH	94-97	70-71	57	47	37	94-97	70-71	57	47	37	23	12	7
Vibrational mode														
TO	233 ^a					230 (78K)								
LA	165 ^a					162 (78K)								
ν_L in H ₂ O	861	845	--	--	--	515 ^b								
ν_L in D ₂ O	--	--	--	--	--	--	--	817	818	818	820	822	823	
ν_2 (surf)	1648	1650	1656	1649	--	--	--	--	--	--	--	--	--	
ν_2	--	--	--	--	--	--	1493	1494	1496	1500	1508	1513	1517	
ν_{OH}	3227	3235	3247	--	--	--	--	--	3264	3266	3269	3269	3269	
ν_{OD}	--	--	--	--	--	2416	2418	2426	2431	2430	--	--	--	
d_{OH}	3691	3691	3692	3693	3692	--	--	--	3683?	--	3688	--	--	
d_{OD}	--	--	--	--	--	--	--	2715	2714	2727	--	--	--	
$2\nu_2$	--	--	--	--	--	--	--	--	--	--	--	--	--	
$2\nu_L$	1570	1571	1573	1570	1600	--	--	--	--	--	1633?	1632	1633	
$3\nu_L$	2252	--	--	--	--	--	--	--	--	--	--	--	--	
$\nu_2+\nu_L$	--	--	--	--	--	2252?	1963	1966	1957	1965	--	--	--	
$\nu_2+2\nu_L$	--	--	--	--	--	--	--	--	--	--	--	--	--	
$\nu_{OH}+TO$	--	--	--	--	--	--	--	--	--	--	--	3473	3473	

^a C. Medcraft, D. McNaughton, C. D. Thompson, D. R. T. Appadoo, S. Bauerecker and E. G. Robertson, *Phys. Chem. Chem. Phys.*, **15**, 3630 (2013)

^b Buch 2003: M. W. Severson, J. P. Devlin and V. Buch, *J. Chem. Phys.*, **119**, 4449 (2003)

Supplementary table S2b cont: Positions of overtone and combination bands involving the ν_2 , ν_L , TO and LA modes at 78 K.

Species	D ₂ O						
	% OH	70-71	57	47	37	23	12
Vibrational mode							
TO	227 (78K)						
LA	161 (78K)						
ν_L in H ₂ O	525 ^a						
ν_L in D ₂ O	--	--	--	--	--	--	658
ν_2 (surf)	--	--	--	--	--	--	--
ν_2	--	--	--	--	--	--	--
ν_{OH}	--	--	--	--	--	--	--
ν_{OD}	--	--	--	--	2432	2428	2427
d_{OH}	--	--	--	--	--	--	--
d_{OD}	--	2725	2726	2726	2726	2726	2726
2 ν_2	--	--	--	--	--	--	--
2 ν_L	1225	--	1217	1213	1210	1211	1211
3 ν_L	--	--	--	--	1633?	1632	1633
$\nu_2 + \nu_L$	--	--	--	--	--	--	--
$\nu_2 + 2 \nu_L$	--	--	--	--	--	--	--
$\nu_{OH} + TO$	--	--	--	--	--	--	--

^a Buch 2003: M. W. Severson, J. P. Devlin and V. Buch, *J. Chem. Phys.*, **119**, 4449 (2003)

Supplementary table S2c: Positions of overtone and combination bands involving the ν_2 , ν_L , TO and LA modes at 140 K.

Species	H ₂ O					HOD								
	% OH	97	77	60-65	55	47	97	77	60-65	55	47	26	12-15	7
Vibrational mode														
TO	228 ^a					230 (78K)								
LA	162 ^a					162 (78K)								
ν_L in H ₂ O	854	834	811	--	--	515 ^b								
ν_L in D ₂ O	--	--	--	--	--	822	822	822	812	813	813	814	814	
ν_2 (surf)	--	1644	--	--	--	--	--	--	--	--	--	--	--	
ν_2	--	--	--	--	--	--	1490	1493	1493	1498	1499	1506	--	
ν_{OH}	3236	3245	3257	--	--	--	--	--	3263	3273	3278	3278	3277	
ν_{OD}	--	--	--	--	--	2423	2424	2430	2430	--	--	--	--	
d_{OH}	3693	3691	3692	3692	--	--	--	--	3683	3690	3689	--	--	
d_{OD}	--	--	--	--	--	--	--	--	--	2711	--	--	--	
$2\nu_2$	--	--	--	--	--	--	--	--	--	2930?	2900?	2868?	--	
$2\nu_L$	1567	1584	1571	1571	1574	--	--	--	--	--	1634	1629	1628	
$3\nu_L$	2251	--	--	--	--	--	--	--	--	--	--	--	--	
$\nu_2+\nu_L$	--	--	--	--	--	--	1958	1960	1964	1953	1923	--	--	
$\nu_2+2\nu_L$	--	--	--	--	--	--	--	--	--	--	--	--	--	
ν_L+TO	1118?	--	--	--	--	--	--	--	--	--	--	--	--	
$\nu_{OH}+TO$	--	--	--	--	--	--	--	--	--	--	--	--	--	
$\nu_{OH}+LA/TO$	--	--	--	--	--	--	--	--	--	--	--	3448?	3466?	

^a C. Medcraft, D. McNaughton, C. D. Thompson, D. R. T. Appadoo, S. Bauerecker and E. G. Robertson, *Phys. Chem. Chem. Phys.*, **15**, 3630 (2013)

^b Buch 2003: M. W. Severson, J. P. Devlin and V. Buch, *J. Chem. Phys.*, **119**, 4449 (2003)

Supplementary table S2c cont: Positions of overtone and combination bands involving the ν_2 , ν_L , TO and LA modes at 140 K.

Species	D ₂ O							
	% OH	77	60-65	55	47	26	12-15	7
Vibrational mode								
TO				227 (78K)				
LA				161 (78K)				
ν_L in H ₂ O				525 ^a				
ν_L in D ₂ O	--	--	--	--	--	--	--	--
ν_2 (surf)	--	--	--	--	--	--	--	--
ν_2	1222?	--	--	--	--	--	--	--
ν_{OH}	--	--	--	--	--	--	--	--
ν_{OD}	--	--	--	2437	2435	2435	2433	
d_{OH}	--	--	--	--	--	--	--	--
d_{OD}	--	--	--	2725	2725	2725	2725	
2 ν_2	--	--	--	--	--	--	--	--
2 ν_L	1222	1220	1220	1220	1211	1210	1211	
3 ν_L	--	--	--	--	--	1629	--	
$\nu_2 + \nu_L$	--	--	--	--	--	--	--	--
$\nu_2 + 2 \nu_L$	--	--	--	--	--	--	--	--
$\nu_L + TO$	--	--	--	--	--	--	--	--
$\nu_{OH} + TO$	--	--	--	--	--	--	--	--
$\nu_{OH} + LA/TO$	--	--	--	--	--	--	--	--

^a Buch 2003: M. W. Severson, J. P. Devlin and V. Buch, *J. Chem. Phys.*, **119**, 4449 (2003)

Supplementary table S2d: Positions of overtone and combination bands involving the ν_2 , ν_L , TO and LA modes at 190 K.

Species	H ₂ O		HOD			D ₂ O
	% OH	98	88	98	88	5
Vibrational mode						
TO	233 ^a		--	--	--	--
LA	166 ^a		--	--	--	--
ν_L in H ₂ O	845	836	--	--	--	--
ν_L in D ₂ O	--	--	--	--	804	644
ν_2 (surf)	--	--	--	--	--	--
ν_2	--	--	--	1486	1506	--
ν_{OH}	3240	3245	--	--	3288	--
ν_{OD}	--	--	2428	2429	--	2441
d_{OH}	--	--	--	--	--	--
d_{OD}	--	--	--	--	--	--
$2\nu_2$	--	--	--	--	--	--
$2\nu_L$	1561	1565	--	--	--	1207
$3\nu_L$	2247	--	--	--	--	1631
$\nu_2+\nu_L$	--	--	--	1955	--	--
$\nu_2+2\nu_L$	--	--	--	--	--	--
$\nu_{OH}+TO$	1100?	--	--	--	--	--

^a C. Medcraft, D. McNaughton, C. D. Thompson, D. R. T. Appadoo, S. Bauerecker and E. G. Robertson, *Phys. Chem. Chem. Phys.*, **15**, 3630 (2013)